

К СТАТИЧЕСКОЙ ОПРЕДЕЛИМОСТИ ПРОСТРАНСТВЕННОГО НАПРЯЖЕННОГО СОСТОЯНИЯ СВЯЗНЫХ СЫПУЧИХ МАТЕРИАЛОВ

Н. Д. Вервейко, Е. Н. Ерохина

Воронежский государственный университет

Поступила в редакцию 29.09.2010 г.

Аннотация: предлагается аппроксимация гладкого выпуклого условия пластичности в пространстве напряжений семейством плоскостей. В случае идеального жесткопластического материала условие пластичности Мизеса аппроксимируется парой касательных плоскостей. Пересечение ребра, даваемого парой касательных плоскостей, и плоскости, задаваемой условием полной пластичности Хаара—Кармана—Ишлинского—Ивлева, дает дополнительные три условия в напряжениях к трем уравнениям равновесия, что замыкает систему уравнений равновесия, которая является гиперболической. В общем случае главное выпуклое условие пластичности в каждой его точке аппроксимируется тремя плоскостями, образующими трехгранный угол, касательный к поверхности.

Ключевые слова: пластичность, пластический сжимаемый сыпучий материал

Ключевые слова: пластичность, пластический сжимаемый сыпучий материал.

Abstract: an approximation of smooth convex plasticity condition by set of planes is suggested. Mises criterion is approximated by two tangent planes in case of ideal rigid-plastic material. Closed system of equilibrium equations and plasticity conditions is resulted.

Key words: plasticity, plastic compressible material, soil.

ВВЕДЕНИЕ

Пространственная задача предельного равновесия пластических материалов, сформулированная в терминах напряжений, определяется тремя уравнениями равновесия *

$$\partial \sigma_{ij} / \partial x_j = 0, (i, j = 1, 2, 3) \quad (1)$$

одним условием предельного состояния — условием пластичности

$$f(\sigma) = 0, \quad (2)$$

и является незамкнутой в смысле совпадения числа неизвестных напряжений — 6 и числа уравнений — 4. Для случая условия пластичности Треска условие (2) задается шестигранной призмой в пространстве напряжений и дополнение этого условия условием полной пластичности Хаара—Кармана—Ишлинского—Ивлева позволяет замкнуть систему уравнений предельного пространственного равновесия материала. Д. Д. Ивлевым в ряде работ и в монографиях [1, 2] проанализирована замкнутая система предельного пространственного равновесия и установлена ее гиперболичность, что позволило провести аналогию между гиперзвуковым течением газа и пластическим течением идеально-жесткопластического материала.

В ряде работ [3, 4] Ю. Н. Радаев исследовал особенности пространства напряжений трехмерного напряженного состояния идеальных пластических материалов и путем введения таких понятий как расслоенные пространства и t -гиперболичность систем уравнений в частных производных показал замкнутость и гиперболичность статических уравнений идеального несжимаемого пластического материала.

Сама идея замены гладкого выпуклого условия пластичности семейством аппроксимирующих плоскостей лежит в основе классической модели математической теории идеальной пластичности как для несжимаемых [1, 2, 3, 4], так и пластически сжимаемых материалов [5, 6].

В предлагаемой работе приводится идея замены одного гладкого выпуклого условия пластичности семейством касательных плоскостей, для которых само условие пластичности является огибающей поверхностью в пространстве главных напряжений.

1. ПЛОСКОЕ НАПРЯЖЕННОЕ СОСТОЯНИЕ ПЛАСТИЧЕСКОГО МАТЕРИАЛА МОДЕЛИ МИЗЕСА

Плоское напряженное состояние пластического материала модели Мизеса определяется

© Вервейко Н. Д., Ерохина Е. Н., 2011

системой двух уравнений в частных производных (уравнений равновесия) для трех компонент напряжения σ_{ij}

$$\partial \sigma_{ij} / \partial x_j = 0, (i, j = 1, 2) \quad (3)$$

и одного уравнения предельного состояния — условия пластичности в форме Мизеса

$$f(\sigma) = (\sigma_1 - \sigma_2)^2 + \sigma_1^2 + \sigma_2^2 = 4k^2, \quad (4)$$

здесь σ_1, σ_2 — главные напряжения тензора напряжений σ_{ij} .

Обозначим через \bar{n}_i направляющий вектор главных напряжений. Так что

$$\bar{n}_i \cdot \bar{n}_i = 1; \bar{n}_i \cdot \bar{n}_p = 0, l \neq p, (l, p = 1, 2), \quad (5)$$

Как следует из (5) из четырех компонент векторов $n_{ij} (i, j = 1, 2)$ независимыми являются только две компоненты. Система уравнений (3—5) является замкнутой относительно напряжений σ_{ij} и направляющих косинусов n_{lp} главных осей тензора напряжений. Замена нелинейного условия пластичности (4) парой касательных плоскостей (рис. 1) линеаризует систему уравнений (3—5), а уравнения касательных принимают следующий вид [7, 8, 9]:

$$\begin{aligned} \sigma_1 &= k_2 \sqrt{2} (\tan \varphi + 1) \Lambda(\varphi), \\ \sigma_2 &= k_2 \sqrt{2} \tan \varphi \cdot \Lambda(\varphi), \end{aligned} \quad (6)$$

где $\tan \varphi = \sigma_2 / (\sigma_1 - \sigma_2)$; $k_2 = (1 + \varepsilon)k$; $\varepsilon = \Delta k / k$; $\Lambda(\varphi) = (1 + \tan \varphi + \tan^2 \varphi)^{-1/2}$.

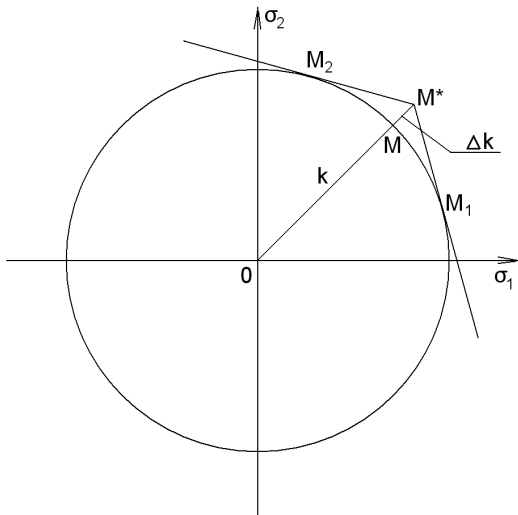


Рис. 1. Аппроксимация условия пластичности (4) в девиаторной плоскости парой касательных M^*M_1, M^*M_2 в окрестности точки M

Уравнения равновесия (3) совместно с линеаризованными условиями пластичности (6)

и с условием единичности направляющих векторов \bar{n}_i (5) примут вид:

$$\delta_{ij} \left(\tan \varphi \cdot \Lambda(\varphi) \right)_{,j} + \left(c_{i1} \cdot c_{j1} \cdot \Lambda(\varphi) \right) = 0; \quad (7)$$

$$c_{i1} \cdot c_{i1} = 1.$$

Система уравнений (7) допускает характеристики $\chi_{1,2}$ в осях координат, совпадающих с главными направлениями тензора напряжений:

$$c_{i1} \cdot \left(f_{,i} / |\nabla f| \right) = \pm \left(\sqrt{2} / 2 \right), \quad (8)$$

где $f(x, y) = 0$ — уравнение характеристической поверхности в плоскости (x, y) .

Характеристики (8) составляют с главными направлениями $\bar{n}_1 (c_{11}, c_{12})$ и $\bar{n}_2 (c_{21}, c_{22})$ углы $\mu = \pm \pi / 4$, что соответствует известным результатам [1, 2]. Соотношения вдоль характеристик $\chi_{1,2}$ для системы (7) можно представить в виде:

$$\pm \theta(\varphi) d(\tan \varphi) + \tan(\xi \pm \pi / 4) d\xi = 0, \quad (9)$$

где $\theta(\varphi) = \Lambda^2(\varphi) \cdot (1 - \tan \varphi)$; $\sin \xi = c_{11}$; $\cos \xi = c_{21}$.

Итерационный параметр $\varepsilon = \Delta k / k$, входящий в (6) для σ_1 и σ_2 является регулярным и при $\varepsilon = \Delta k / k \rightarrow 0$ уравнения характеристик (8) и уравнения вдоль характеристик (9) полностью переходят (после преобразования обозначений) в известные соотношения плоской задачи теории идеальной пластичности [1, 2]. Таким образом метод предложенной линеаризации условия пластичности Мизеса в плоской задаче обладает сходимостью к точному решению при $\varepsilon \rightarrow 0$.

2. ПЛОСКОЕ НАПРЯЖЕННОЕ СОСТОЯНИЕ СЖИМАЕМОГО СВЯЗНОГО СЫПУЧЕГО МАТЕРИАЛА

Для пластически сжимаемых материалов, моделирующих предельное состояние связных сыпучих материалов [10], условие пластичности в пространстве с координатными линиями первого и второго инвариантов тензора напряжений $I_{1\sigma}, I_{2\sigma}$ представляет собой эллипс (рис. 2) при $f > \alpha$.

$$\Phi = I_{2\sigma}^2 - (Y + \alpha I_{1\sigma})^2 + f^2 I_{1\sigma}^2 = 0, \quad (10)$$

Само условие пластичности (10) обладает уникальными свойствами, обобщающими условие пластичности Мизеса и условие Кулона—Амонтона—Соколовского. Так при $\alpha = f = 0$ условие (10) переходит в условие Мизеса (прямая YM на рис. 2). При $f = 0, \alpha \neq 0$ условие

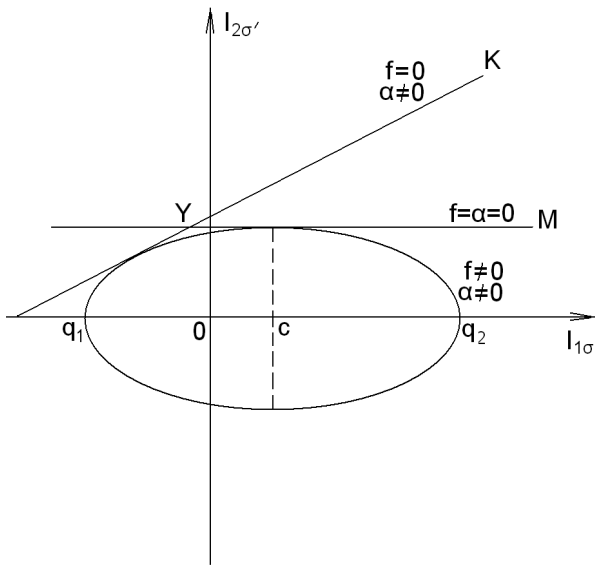


Рис. 2. Изображение условия пластичности (8) в пространстве инвариантов $(I_{1\sigma}, I_{2\sigma'})$

(10) представляет собой условие пластичности Кулона—Амонтона—Соколовского для сжимаемых грунтов (прямая YK на рис. 2).

Таким образом, результаты исследования напряженно-деформированного состояния при условии (10) в пределе при $\alpha \rightarrow 0$ и $f \rightarrow 0$ будут переходить в решения аналогичных задач идеальной пластичности, а при $f \rightarrow 0$, $\alpha \neq 0$ будут переходить в решение задач идеально сжимаемого пластического материала [1—3].

Плоское напряженное состояние пластически деформируемого связного сыпучего материала описывается тензором напряжений σ_{ij} ($i, j = 1, 2$), компоненты которого подчиняются условию равновесия (3) и условию пластичности (10).

Система трех уравнений — двух уравнений в частных производных (3) и одного нелинейного уравнения (10) является замкнутой. Одним из методов решения представленной задачи является применяемый далее метод линеаризации нелинейного уравнения (10). На рис. 3 представлена картина замены условия пластичности (10) в некоторой точке M его приближением — парой касательных прямых в пространстве напряжений, которые проходят через точку \tilde{M} , находящуюся на расстоянии $\varepsilon \cdot Y$ по нормали в точке M к поверхности $\Phi = 0$.

В безразмерном виде уравнения равновесия (3) и условие пластичности (10) представимы в виде:

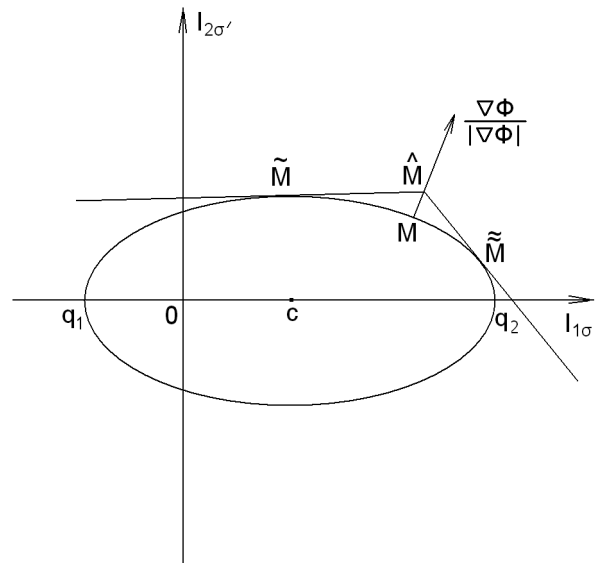


Рис. 3. Схематичное изображение условия пластичности (10) в пространстве инвариантов $(I_{1\sigma}, I_{2\sigma'})$ и аппроксимирующей его в окрестности точки M пары касательных $\tilde{M}M$ и $\tilde{\tilde{M}}M$

$$\sigma_{ij,j} = 0; \tau^2 - (1 - \alpha q)^2 + f^2 q^2 = 0. \quad (11)$$

Здесь знак безразмерности у напряжений опущен $\bar{\sigma}_{ij} = \sigma_{ij} / Y$; $\tau^2 = I_{2\sigma'}^2 / Y^2$; $q = p / Y$; $p = -I_{1\sigma}$.

Зная точки $q_1 = 1 / (\alpha - f)$; $q_2 = 1 / (\alpha + f)$; ($f > \alpha$), определяется центр эллипса: $c = \alpha / (\alpha^2 - f^2)$, а также величина его полуосей a и b : $a = f / (f^2 - \alpha^2)$; $b = f / \sqrt{f^2 - \alpha^2}$.

В системе координат с центром в точке c центра эллипса условие пластичности (10, 11) принимает вид:

$$\tilde{q}^2 / a^2 + \tau^2 / b^2 = 1. \quad (12)$$

Путем растяжения или сжатия вдоль осей \tilde{q} и τ условие пластичности (10) можно преобразовать в уравнение окружности единичного радиуса

$$\xi^2 + \eta^2 = 1, \quad (13)$$

где $\xi = \tilde{q} / a$; $\eta = \tau / b$.

Переход к новым переменным ξ , η в пространстве инвариантов $I_{1\sigma}$, $I_{2\sigma'}$ тензора напряжений связан с тем, что при аппроксимации условия пластичности (10) парой касательных, в точке \tilde{M} необходимо использовать единичный вектор нормали к поверхности эллипса (10) $\bar{N} = \nabla\Phi / |\nabla\Phi|$, а длина $|\nabla\Phi|$ есть функция координат точки M , что не совсем удобно при проведении алгебраических вычислений. На рис. 4 видно, что в рассматриваемой задаче,

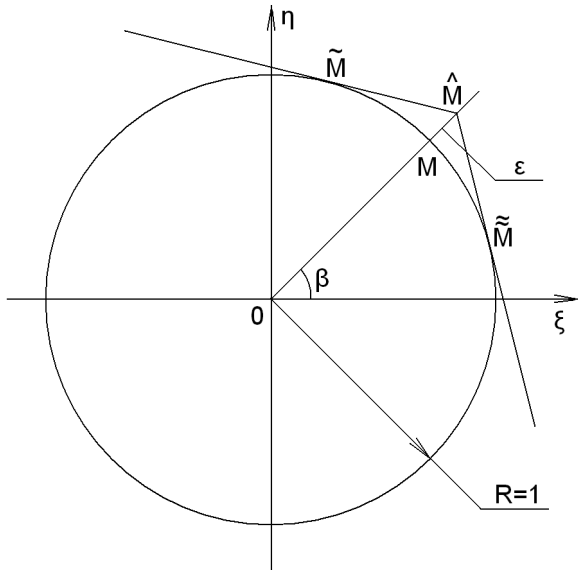


Рис. 4. Схематичное изображение условия пластичности (10) в виде окружности единичного радиуса и касательных прямых $\hat{M}\hat{M}$ и $\tilde{M}\tilde{M}$, аппроксимирующих условие пластичности в точке \hat{M}

определяемой замкнутой системой уравнений (11), линейаризация условия пластичности (10) позволяет провести параметризацию задачи (11) и уменьшить число неизвестных. Сама итерация в решениях по параметру $\varepsilon = \Delta Y / Y$ не является необходимой, поскольку построена будет система уравнений, в которой предельный переход по $\varepsilon \rightarrow 0$ возможно провести уже в самой дифференциальной постановке.

Как следует из рис. 4, при введении параметра $\beta (\tan \beta = \eta / \xi)$ значения “инвариантов” ξ и η определяются однозначно:

$$\xi = \cos \beta; \eta = \sin \beta. \quad (14)$$

Для линейаризированной задачи координаты точки \hat{M} , аппроксимирующей точку M , находятся

$$\hat{\xi} = (1 + \varepsilon) \cos \beta; \hat{\eta} = (1 + \varepsilon) \sin \beta. \quad (15)$$

Сформулируем систему (11) уравнений равновесия и условия пластичности в новых переменных ϕ, β , где ϕ - направляющий косинус первого главного направления σ_1 тензора напряжений, β - угол определяющий вид напряженного состояния (рис.4). Уравнения равновесия (3) примут вид:

$$(\sigma_i c_{il} \cdot c_{jl})_{,j} = 0; c_{il} c_{jl} = \delta_{ij} (i, j, l = 1, 2), \quad (16)$$

где $c_{11} = \cos \phi$; $c_{21} = \sin \phi$.

Система уравнений (16) сводится к системе двух квазилинейных уравнений в частных производных для $\beta(x, y), \phi(x, y)$:

$$\begin{aligned} & [\gamma f \sin \beta - f \gamma^2 \cdot \cos \beta - 2f \gamma \cos^2 \phi \cdot \sin \beta]_{,x} - \\ & - f \gamma (\sin 2\phi \cdot \sin \beta)_{,y} = 0 \\ & - f \gamma (\sin 2\phi \cdot \sin \beta)_{,x} + \\ & + [f \gamma \sin \beta - f \gamma^2 \cdot \cos \beta - 2f \gamma \cos^2 \phi \cdot \sin \beta]_{,y} = 0, \quad (17) \end{aligned}$$

где $\gamma = 1 / \sqrt{f^2 - \alpha^2}$.

При замене переменных

$$U = \sin 2\phi \cdot \sin \beta; \quad (18)$$

$$V = \cos 2\phi \cdot \sin \beta + \gamma \cos \beta$$

система уравнений в частных производных для $U(\phi, \beta)$ и $V(\phi, \beta)$ приводится к гиперболическому виду:

$$U_{,x} + V_{,y} = 0; U_{,y} + V_{,x} = 0. \quad (19)$$

Характеристики системы (19) представляют собой семейства ортогональных прямых наклоненных к оси x под углом $\psi = \pi / 4$:

$$\tan \psi = dy / dx = \pm 1. \quad (20)$$

Вдоль характеристик (20) имеют место дифференциальные уравнения:

$$\chi_1, dy / dx = 1 : dW_1 = 0, W_1 = Const,$$

$$\chi_2, dy / dx = -1 : dW_2 = 0, W_2 = Const, \quad (21)$$

здесь

$$W_1 = U + V = \sqrt{2} \sin \beta \sin(2\phi - \pi / 4) + \gamma \cos \beta$$

$$W_2 = U - V = \sqrt{2} \sin \beta \cos(2\phi - \pi / 4) + \gamma \cos \beta. \quad (22)$$

Таким образом, плоская задача механики деформирования связных сыпучих материалов сводится к решению в напряжениях системы уравнений (19), имеющих гиперболический тип, простые уравнения характеристик (20) и дифференциальные соотношения (21) вдоль характеристик. При этом отметим, что в процессе решения методом характеристик в каждой точке плоскости находятся инварианты W_1 вдоль χ_1 и W_2 вдоль χ_2 . Сами параметры ϕ и β определяющие напряженное состояние находятся в результате решения системы двух нелинейных тригонометрических уравнений (22), где W_1, W_2 известны в каждой точке плоскости.

3. ПРОСТРАНСТВЕННОЕ НАПРЯЖЕННОЕ СОСТОЯНИЕ СВЯЗНЫХ СЫПУЧИХ МАТЕРИАЛОВ

3.1. МАТЕМАТИЧЕСКАЯ ПОСТАНОВКА ЗАДАЧИ

Исследование пространственного напряженного состояния связного сыпучего материала

основывается на рассмотрении системы уравнений: уравнения равновесия (1) и условия пластичности типа Мизеса—Шлейхера—Соколовского (2).

При использовании метода линеаризации условия пластичности представляется удобным привести условие пластичности (2) к сферической форме в некоторой повернутой и растянутой системе координат в пространстве главных напряжений. В пространстве главных напряжений условие (2) представляет собой эллипсоид вращения:

$$\Phi = \frac{1}{6}((\sigma_1 - \sigma_2)^2 + (\sigma_1 - \sigma_3)^2 + (\sigma_2 - \sigma_3)^2) - (Y + \alpha I_{1\sigma})^2 + f^2(\sigma_1 + \sigma_2 + \sigma_3)^2 = 0. \quad (23)$$

соида вращения в сферу, вводя замену:

$$\begin{aligned} \xi &= \frac{3(f^2 - \alpha^2)\sigma'_1 - \sqrt{3}\alpha Y}{\sqrt{3}fY}, \\ \eta &= \frac{\sqrt{3}(f^2 - \alpha^2)\sigma'_2}{\sqrt{6}fY}, \\ \zeta &= \frac{\sqrt{3}(f^2 - \alpha^2)\sigma'_3}{\sqrt{6}fY}, \end{aligned} \quad (26)$$

так, что условие пластичности связного сыпучего материала в новых осях ξ, η, ζ принимает вид:

$$\Phi = \xi^2 + \eta^2 + \zeta^2 - 1 = 0. \quad (27)$$

Условие пластичности представленное в виде сферы единичного радиуса (27) позволяет выразить неизвестные главные напряжения через сферические углы ϕ, θ :

$$\begin{cases} \sigma_1 = \frac{\alpha Y + fY \cos \phi \sin \phi + fY(6 \cos \theta - 4\sqrt{3} \sin \phi \sin \theta)\sqrt{f^2 - \alpha^2}}{3(f^2 - \alpha^2)^2} \\ \sigma_2 = \frac{\alpha Y + fY \cos \phi \sin \theta + fY(9 \cos \theta - \sqrt{3} \sin \phi \sin \theta)\sqrt{f^2 - \alpha^2}}{3(f^2 - \alpha^2)^2} \\ \sigma_3 = \frac{\alpha Y + fY \cos \phi \sin \theta + fY(3 \cos \theta - \sqrt{3} \sin \phi \sin \theta)\sqrt{f^2 - \alpha^2}}{3(f^2 - \alpha^2)^2} \end{cases} \quad (28)$$

3.2. ПРЕОБРАЗОВАНИЕ УСЛОВИЯ ПЛАСТИЧНОСТИ К СФЕРЕ В ГЛАВНЫХ ОСЯХ ТЕНЗОРА НАПРЯЖЕНИЙ

В главных осях эллипсоида вращения условие пластичности Мизеса—Шлейхера—Соколовского принимает вид:

$$\begin{aligned} &\left(\frac{3(f^2 - \alpha^2)\sigma'_1 - \sqrt{3}\alpha Y}{\sqrt{3}fY} \right)^2 + \\ &+ \left(\frac{\sqrt{3}(f^2 - \alpha^2)\sigma'_2}{\sqrt{6}fY} \right)^2 + \\ &+ \left(\frac{\sqrt{3}(f^2 - \alpha^2)\sigma'_3}{\sqrt{6}fY} \right)^2 = 1, \end{aligned} \quad (24)$$

где главные оси эллипсоида пластичности $\sigma'_1, \sigma'_2, \sigma'_3$ выражаются через главные оси тензора напряжений $\sigma_1, \sigma_2, \sigma_3$ из:

$$\begin{aligned} \sigma'_3 &= (\sigma_2 - \sigma_3) / \sqrt{2}, \\ \sigma'_1 &= (\sigma_1 + \sigma_2 + \sigma_3) / \sqrt{3}, \\ \sigma'_2 &= (\sigma_2 + \sigma_3 - 2\sigma_1) / \sqrt{6}. \end{aligned} \quad (25)$$

Из (24) легко ввести преобразование эллип-

3.3. АППРОКСИМАЦИЯ УСЛОВИЯ ПЛАСТИЧНОСТИ МИЗЕСА-ШЛЕЙХЕРА-СОКОЛОВСКОГО СЕМЕЙСТВОМ ПЛОСКОСТЕЙ

Положим, что точка M находится на расстоянии ε по нормали от поверхности сферы единичного радиуса и заменим приближенно поверхность семейством касательных плоскостей. Для этого введем угол ψ , осчитываемый от плоскости $\varphi = Const$ в плоскости перпендикулярной нормали n к сфере в точке M . Уравнение плоскости, проходящей через точку M и касательной к сфере в точке M^* имеет вид:

$$\xi^*(\hat{\xi} - \xi^*) + \eta^*(\hat{\eta} - \eta^*) + \zeta^*(\hat{\zeta} - \zeta^*) = 0, \quad (29)$$

так как касательная плоскость перпендикулярна вектору нормали к Φ , который имеет вид $grad\Phi = (2\xi^*, 2\eta^*, 2\zeta^*)$.

На рис. 5 представлено сечение сферы единичного радиуса плоскостью $\psi = Const$, которое позволяет выразить координаты точки $M^*(\xi^*, \eta^*, \zeta^*)$ через малый параметр ε , угол ψ и Эйлеровы углы ϕ, θ . Обозначим:

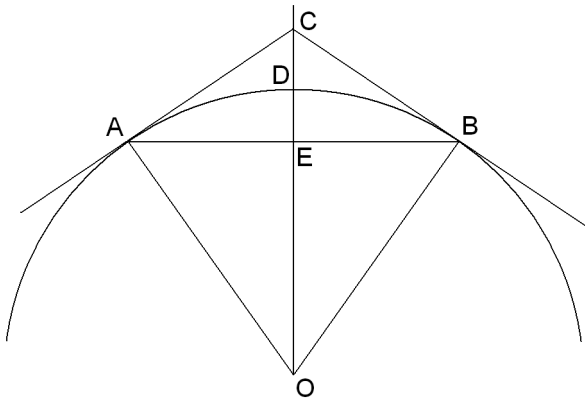


Рис. 5. Схематическое изображение сечения сферы единичного радиуса плоскостью $\psi = Const$

$$\begin{aligned} AC &= \sqrt{\varepsilon(2 + \varepsilon)}; DE = \varepsilon / (\varepsilon + 1) \\ BE &= \sqrt{\varepsilon(\varepsilon + 2)} / (\varepsilon + 1); \\ OE &= 1 - DE = 1 / (\varepsilon + 1). \end{aligned} \quad (30)$$

Вычислим необходимые для дальнейшего промежуточные значения:

$$\begin{aligned} M^0 M^- &= \sqrt{\varepsilon(\varepsilon + 2)} \cos \psi / (1 + \varepsilon), \\ OM^- &= \sqrt{1 + \varepsilon(2 + \varepsilon) \cos^2 \psi} / (1 + \varepsilon), \\ \cos(M^0 OM^-) &= 1 / \sqrt{1 + \varepsilon(2 + \varepsilon) \cos^2 \psi}, \\ \sin(M^0 OM^-) &= \sqrt{\varepsilon(2 + \varepsilon) / (1 + \varepsilon(2 + \varepsilon) \cos^2 \psi)} \cos \psi. \end{aligned} \quad (31)$$

Координаты точки касания ξ^* , η^* , ζ^* представимы в форме:

$$\begin{aligned} \zeta^* &= (\cos \theta - \sin \theta \sqrt{\varepsilon(2 + \varepsilon)} \cos \psi) / (1 + \varepsilon) \\ \eta^* &= (\sqrt{1 + \varepsilon(2 + \varepsilon) \cos^2 \psi} \sin(\theta + \Delta\theta) \sin \varphi + \sqrt{\varepsilon(\varepsilon + 2)} \cos \varphi \sin \psi) / (1 + \varepsilon), \\ \xi^* &= (\sqrt{1 + \varepsilon(2 + \varepsilon) \cos^2 \psi} \sin(\theta + \Delta\theta) \cos \varphi + \sqrt{\varepsilon(\varepsilon + 2)} \sin \varphi \sin \psi) / (1 + \varepsilon) \end{aligned} \quad (32)$$

где $\sin \Delta\theta = \sqrt{\varepsilon(\varepsilon + 2)} / (\varepsilon + 1)$, $\cos \Delta\theta = 1 / (\varepsilon + 1)$.

$$c_{ij} = \begin{pmatrix} \cos \omega \cos \beta - \sin \omega \sin \beta \cos \gamma & \cos \omega \sin \beta - \sin \omega \cos \beta \cos \gamma & \sin \omega \sin \gamma \\ -\sin \omega \cos \beta - \cos \omega \sin \beta \cos \gamma & -\sin \omega \sin \beta + \cos \omega \cos \beta \cos \gamma & \cos \omega \sin \gamma \\ \sin \gamma \sin \beta & -\sin \gamma \cos \beta & \cos \gamma \end{pmatrix}, \quad (34)$$

Используя полученные значения координат точки касания M^* уравнение семейства касательных плоскостей, проходящих через точки M , M^* (где точка M^* меняет положение в

зависимости от параметра ψ), приобретает вид:

$$\begin{aligned} &(\sqrt{1 + \varepsilon(2 + \varepsilon) \cos^2 \psi} \frac{\sin \theta + \sqrt{\varepsilon(\varepsilon + 2)} \cos \theta}{\varepsilon + 1} \cos \varphi + \\ &+ \sqrt{\varepsilon(\varepsilon + 2)} \sin \varphi \sin \psi) \cos \theta + \\ &(\sqrt{1 + \varepsilon(2 + \varepsilon) \cos^2 \psi} \frac{\sin \theta + \sqrt{\varepsilon(\varepsilon + 2)} \cos \theta}{\varepsilon + 1} \sin \varphi + \\ &+ \sqrt{\varepsilon(\varepsilon + 2)} \cdot \cos \varphi \sin \psi) \cos \phi \sin \theta + \\ &\frac{\cos \theta - \sin \theta \sqrt{\varepsilon(2 + \varepsilon)} \cos \psi}{\varepsilon + 1} \sin \varphi \sin \theta = 1. \end{aligned} \quad (33)$$

Здесь параметром множества плоскостей в сферической системе координат является угол ψ , который пробегает значения от 0 до 2π . Огибающей этого семейства является касательный конус из точки M к сфере.

Исходя из общих соображений выберем касательные плоскости из точки M к сфере образующие трехгранный угол так, что задав три различных значения ψ , получим три независимых уравнения касательных плоскостей, которые делают задачу пространственного напряженного состояния связного сыпучего материала статически определимой, поскольку количество уравнений, количество касательных плоскостей совпадает с числом неизвестных компонент тензора напряжений.

3.4. ФОРМУЛИРОВКА ЗАМКНУТОЙ СИСТЕМЫ УРАВНЕНИЙ ДЛЯ ОПРЕДЕЛЕНИЯ ПРОСТРАНСТВЕННОГО НАПРЯЖЕННОГО СОСТОЯНИЯ СВЯЗНЫХ СЫПУЧИХ МАТЕРИАЛОВ.

Выберем в качестве параметров, определяющих пространственное напряженное состояние три главных направления $\sigma_1, \sigma_2, \sigma_3$ и три угла, определяющих главные направления тензора напряжений. На рис.3 показаны углы ω, β, γ , через которые определяются направляющие косинусы главных нормалей $n_1(c_{11}, c_{12}, c_{13}), n_2(c_{21}, c_{22}, c_{23}), n_3(c_{31}, c_{32}, c_{33})$:

где $i, j = 1, 2, 3$.

Уравнения равновесия в переменных $\sigma_1, \sigma_2, \sigma_3, \omega, \beta, \gamma$ примут вид:

$$\left. \begin{aligned}
 & \partial(\sigma_1(\cos \omega \cos \beta - \sin \omega \sin \beta \cos \gamma)^2 + \sigma_2(\cos \omega \sin \beta - \sin \omega \cos \beta \cos \gamma)^2 + \\
 & \quad + \sigma_3(\sin \omega \sin \gamma)^2) / \partial x + \\
 & + \partial(\sigma_1(\cos \omega \cos \beta - \sin \omega \sin \beta \cos \gamma)(-\sin \omega \cos \beta - \cos \omega \sin \beta \cos \gamma) + \\
 & \quad + \sigma_2(\cos \omega \sin \beta - \sin \omega \cos \beta \cos \gamma)(-\sin \omega \sin \beta + \cos \omega \cos \beta \cos \gamma) + \\
 & \quad + \sigma_3(\sin \omega \sin \gamma)(\cos \omega \sin \gamma)) / \partial y + \\
 & \quad + \partial(\sigma_1(\cos \omega \cos \beta - \sin \omega \sin \beta \cos \gamma)(\sin \gamma \sin \beta) + \\
 & \quad + \sigma_2(\cos \omega \sin \beta - \sin \omega \cos \beta \cos \gamma)(-\sin \gamma \cos \beta) + \\
 & \quad + \sigma_3(\sin \omega \sin \gamma) \cos \gamma) / \partial z = 0 \\
 & \partial(\sigma_1(-\sin \omega \cos \beta - \cos \omega \sin \beta \cos \gamma)(\cos \omega \cos \beta - \sin \omega \sin \beta \cos \gamma) + \\
 & \quad + \sigma_2(-\sin \omega \sin \beta + \cos \omega \cos \beta \cos \gamma)(\cos \omega \sin \beta - \sin \omega \cos \beta \cos \gamma) + \\
 & \quad + \sigma_3(\cos \omega \sin \gamma)(\sin \omega \sin \gamma)) / \partial x + \\
 & + \partial(\sigma_1(-\sin \omega \cos \beta - \cos \omega \sin \beta \cos \gamma)^2 + \sigma_2(-\sin \omega \sin \beta + \cos \omega \cos \beta \cos \gamma)^2 + \\
 & \quad + \sigma_3(\cos \omega \sin \gamma)^2) / \partial y + \\
 & \quad \partial(\sigma_1(-\sin \omega \cos \beta - \cos \omega \sin \beta \cos \gamma)(\sin \gamma \sin \beta) + \\
 & \quad + \sigma_2(-\sin \omega \sin \beta + \cos \omega \cos \beta \cos \gamma)(-\sin \gamma \cos \beta) + \\
 & \quad + \sigma_3(\cos \omega \sin \gamma)(\cos \gamma)) / \partial z = 0 \\
 & \quad \partial(\sigma_1(\sin \gamma \sin \beta)(\cos \omega \cos \beta - \sin \omega \sin \beta \cos \gamma) + \\
 & \quad + \sigma_2(-\sin \gamma \cos \beta)(\cos \omega \sin \beta - \sin \omega \cos \beta \cos \gamma) + \\
 & \quad + \sigma_3(\cos \gamma)(\sin \omega \sin \gamma)) / \partial x + \\
 & + \partial(\sigma_1(\sin \gamma \sin \beta)(-\sin \omega \cos \beta - \cos \omega \sin \beta \cos \gamma) + \\
 & \quad + \sigma_2(-\sin \gamma \cos \beta)(-\sin \omega \sin \beta + \cos \omega \cos \beta \cos \gamma) + \\
 & \quad + \sigma_3(\cos \gamma)(\cos \omega \sin \gamma)) / \partial y + \\
 & + \partial(\sigma_1(\sin \gamma \sin \beta)^2 + \sigma_2(-\sin \gamma \cos \beta)^2 + \sigma_3(\cos \gamma)^2) / \partial z = 0
 \end{aligned} \right\} \quad (35)$$

В уравнении (35) неизвестные σ_1 , σ_2 , σ_3 выражаются через две переменные φ , θ :

$$\left\{ \begin{aligned}
 \sigma_1 &= \frac{\alpha Y + fY \cdot \cos \varphi \sin \theta + fY(6 \cos \theta - 4\sqrt{3} \sin \phi \sin \theta)\sqrt{f^2 - \alpha^2}}{3(f^2 - \alpha^2)^2} \\
 \sigma_2 &= \frac{\alpha Y + fY \cdot \cos \varphi \sin \theta + fY(9 \cos \theta - \sqrt{3} \sin \phi \sin \theta)\sqrt{f^2 - \alpha^2}}{3(f^2 - \alpha^2)^2} \\
 \sigma_3 &= \frac{\alpha Y + fY \cdot \cos \varphi \sin \theta + fY(3 \cos \theta - \sqrt{3} \sin \phi \sin \theta)\sqrt{f^2 - \alpha^2}}{3(f^2 - \alpha^2)^2}
 \end{aligned} \right. \quad (28)$$

Множество уравнений касательных плоскостей имеет вид:

$$\begin{aligned}
 & (\sqrt{1 + \varepsilon(2 + \varepsilon) \cos^2 \psi} \cdot \frac{\sin \theta + \sqrt{\varepsilon(\varepsilon + 2) \cos \theta}}{\varepsilon + 1} \cos \phi + \sqrt{\varepsilon(\varepsilon + 2)} \cdot \sin \phi \sin \psi) \cos \theta + \\
 & + (\sqrt{1 + \varepsilon(2 + \varepsilon) \cos^2 \psi} \cdot \frac{\sin \theta + \sqrt{\varepsilon(\varepsilon + 2) \cos \theta}}{\varepsilon + 1} \sin \phi + \sqrt{\varepsilon(\varepsilon + 2)} \cdot \cos \phi \sin \psi) \cos \phi \sin \theta +, \\
 & + \frac{\cos \theta - \sin \theta \sqrt{\varepsilon(\varepsilon + 1) \cos \psi}}{\varepsilon + 1} \cdot \sin \phi \cdot \sin \theta = 1
 \end{aligned} \quad (36)$$

где ψ — параметр, задающий плоскости таким образом, чтобы касательные плоскости образо-

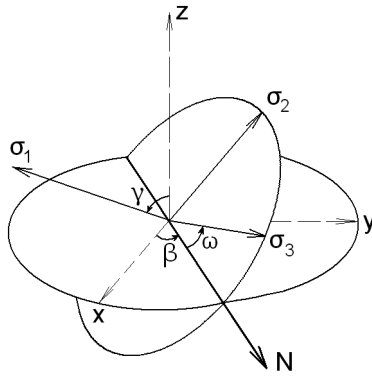


Рис. 6. Изображение углов Эйлера, используемых для нахождения направляющих косинусов главных направлений тензора напряжений

вывали невырожденный двугранный угол (скажем при $\psi_1 = 0, \psi_2 = \pi$).

Построенная таким образом система уравнений (28), (35), (36) представляет собой квазилинейную систему уравнений в частных производных для $\sigma_1, \sigma_2, \sigma_3, \varphi, \theta, \omega, \beta, \gamma$. Для решения конкретных задач необходимо выполнение граничных условий.

3.5. РАСЧЕТ НАПРЯЖЕННОГО СОСТОЯНИЯ ОДНОМЕРНОЙ СФЕРИЧЕСКОЙ ЗАДАЧИ ПЛАСТИЧЕСКОГО ДЕФОРМИРОВАНИЯ СЖИМАЕМЫХ МАТЕРИАЛОВ.

Рассмотрим одномерную сферическую задачу определения напряженного состояния пространства, ограниченного сферой радиуса a и находящегося под равномерно распределенным внутренним давлением P_a . Предполагается, что материал деформируется пластически. Уравнение равновесия в напряжениях в случае центральной симметрии имеет вид:

$$\frac{\partial \sigma_r}{\partial r} + \frac{2}{r}(\sigma_r - \sigma_{\theta'}) = 0, \quad (37)$$

где $\sigma_r, \sigma_{\theta'} = \sigma_{\varphi'}$ — компоненты тензора напряжений, θ', φ' — сферические углы. Из 2-го и 3-го уравнений (28) и условия центральной симметрии ($\sigma_{\theta'} = \sigma_{\varphi'}$) получаем:

$$\theta = \pm \frac{\pi}{2} + \pi n. \quad (38)$$

С учетом (38) уравнения (28) принимают вид:

$$\begin{cases} \sigma_r = \frac{\alpha \pm f \cdot \cos \varphi \mp f \cdot 4\sqrt{3} \sin \varphi \sqrt{f^2 - \alpha^2}}{3(f^2 - \alpha^2)^2} Y \\ \sigma_{\theta'} = \frac{\alpha \pm f \cdot \cos \varphi \mp f \cdot \sqrt{3} \sin \varphi \sqrt{f^2 - \alpha^2}}{3(f^2 - \alpha^2)^2} Y \end{cases} \quad (39)$$

Уравнение равновесия (37) после исключения $\sigma_{\theta'}$ и φ из условия (39) сводится к обыкновенному дифференциальному уравнению для σ_r :

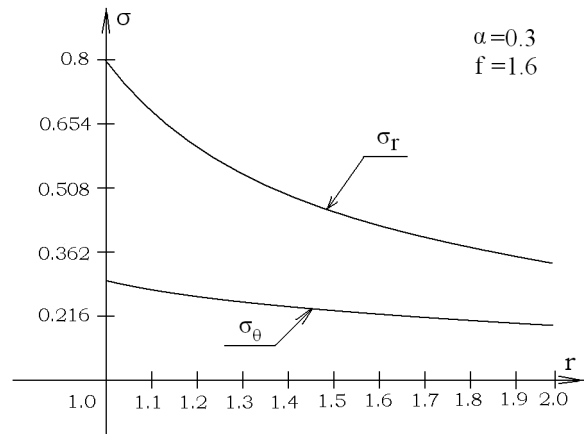
$$\frac{d\sigma_r}{dr} = \frac{E\sigma_r + F \pm \sqrt{K\sigma_r^2 + L\sigma_r + M}}{N \cdot r}, \quad (40)$$

где $E = -16 \cdot 9 \cdot v(f^2 - \alpha^2 - 1) + 6v, F = -6 \cdot \alpha + 16 \cdot 9\alpha(f^2 - \alpha^2 - 1), K = 48 \cdot 9v^2(-f^2 + \alpha^2), L = 36 \cdot v\alpha(24f^2 - 24\alpha^2 - 1), M = 9 \cdot (\alpha^2 - (48f^2 - 48\alpha^2 - 1)(\alpha^2 - 48f^4 + 48f^2\alpha^2)), N = 32 \cdot 3v(f^2 - \alpha^2 - 1), v = 3(f^2 - \alpha^2)^2$.

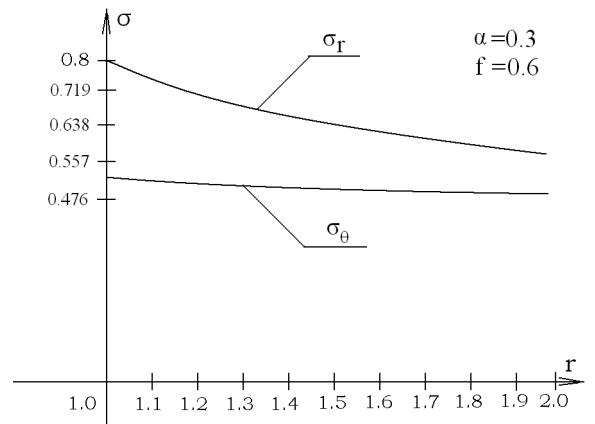
Окружное напряжение $\sigma_{\theta'}$ выражается из уравнений (37), (40) через радиальное напряжение σ_r :

$$\sigma_{\theta'} = \frac{E\sigma_r + F \pm \sqrt{K\sigma_r^2 + L\sigma_r + M}}{2N} + \sigma_r. \quad (41)$$

Для вычисления радиального напряжения σ_r обыкновенное дифференциальное уравнение (40) решается пошаговым алгоритмом Эйлера.



а) $f = 1.6$



б) $f = 0.6$

Рис. 7. Графики поведения окружного и радиального напряжений при различных значениях коэффициента трения качения

В качестве граничного условия берется напряжение на поверхности сферы $r = a$:

$$\sigma_r |_{r=a} = P_a. \quad (42)$$

На рис. 7 (а, б) представлены графики окружного и радиального напряжений для $r \in [a, 2a]$ в случае изменения коэффициента трения качения, из которых следует, что уменьшение коэффициента трения качения при неизменном внутреннем давлении ведет к уменьшения радиального и окружного напряжений на внешней границе сферического сосуда.

ЛИТЕРАТУРА

1. *Ивлев Д. Д.* Механика пластических сред : в 2 т. Т. 1. Теория идеальной пластичности. — М. : ФИЗМАТЛИТ, 2001. — 448 с.

2. *Ивлев Д. Д.* Механика пластических сред: в 2 т. Т. 2. Общие вопросы. Жесткопластическое и упругопластическое состояние тел. Упрочнение. Деформационные теории. Сложные среды. — М. : ФИЗМАТЛИТ, 2002. — 448 с.

3. *Радаев Ю. Н.* О t -гиперболичности пространственных задач теории пластичности / Ю. Н. Радаев В. А. Гудков // Вестник Самарского ГУ. — 2005. — № 3(37). — С. 57—70.

Вервейко Николай Дмитриевич — доктор технических наук, профессор. Воронежский государственный университет

E-mail: ver38@mail.ru

Тел.: 8-910-245-50-59

Ерохина Евгения Николаевна — аспирант. Воронежский государственный университет

E-mail: erokhina1985@mail.ru

Тел.: 8-960-133-27-19

4. *Радаев Ю. Н.* Трехмерные уравнения вязкой задачи математической теории пластичности / Ю. Н. Радаев // Вестник ЧГПУ им. И. Я. Яковлева. Серия Механика предельного равновесия. — 2007. — № 1. — С. 90—121.

5. *Соколовский В. В.* Теория пластичности. — М.: Высш. школа., 1969. — 608 с.

6. *Ehlers W., Volk W.* On theoretical and numerical methods in the theory of porous media based on polar and non-polar elasto-plastic solid materials // Int. J. Solids and Struct. — 1998. — 34—35, v. 35. — P. 4597—4617.

7. *Вервейко Н. Д., Купцов, А. В.* Итерационный метод решения задач теории идеальной пластичности // Вестник ВГУ. Серия Физика, Математика. — 2005. — № 1. — С. 149—153.

8. *Вервейко Н. Д., Купцов, А. В.* Метод характеристик решения пространственной задачи идеальной пластичности при условии Мизеса. — М.: Наука РАН, МТТ. — С. 181—192.

9. *Вервейко Н. Д., Купцов А. В.* Пространственная задача теории пластичности модели Мизеса. — Воронеж : ВГУ, 2008. — 116 с.

10. *Вервейко Н. Д., Фролов, А. Л.* Математическое моделирование напряженно-деформированного состояния вязких гранулированных материалов. — Воронеж : ВВВАИУ, 2006. — 142 с.

Vervevko Nikolay Dmitrievich — doctor of technical science, professor. Voronezh State University

E-mail: ver38@mail.ru

Tel.: 8-910-245-50-59

Erokhina Evgeniya Nicolaevna — postgraduate student. Voronezh State University

E-mail: erokhina1985@mail.ru

Tel.: 8-960-133-27-19